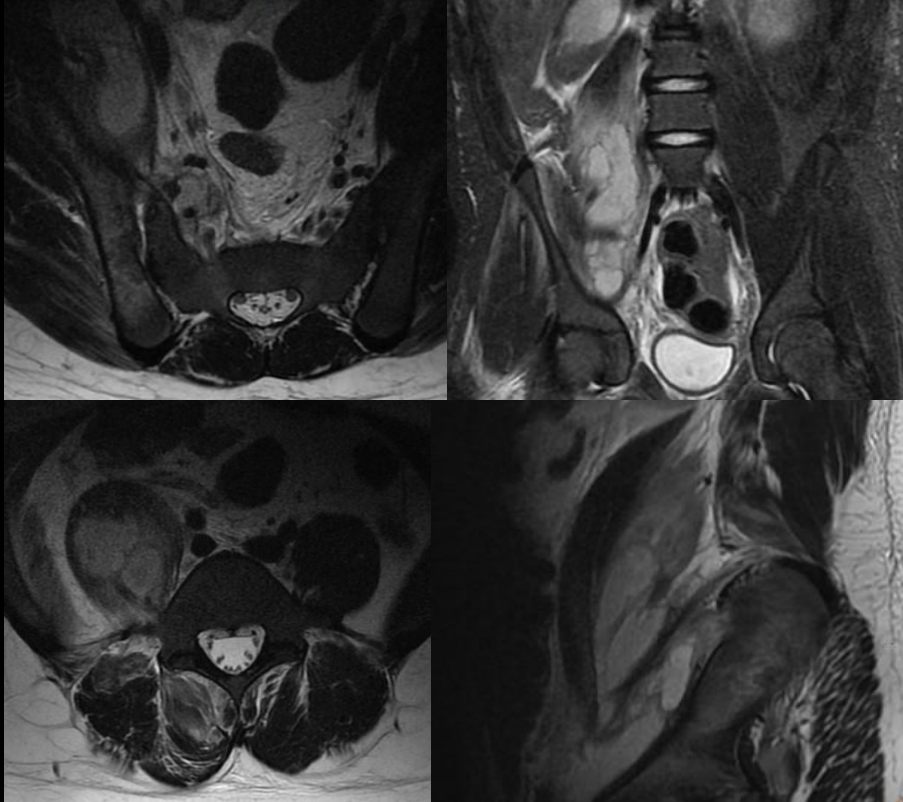


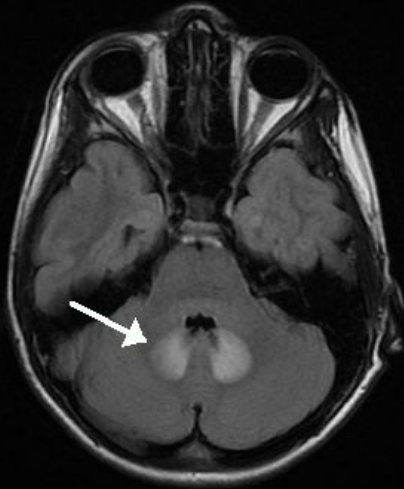
Relato de caso: Encefalopatia induzida por metronidazol na criança



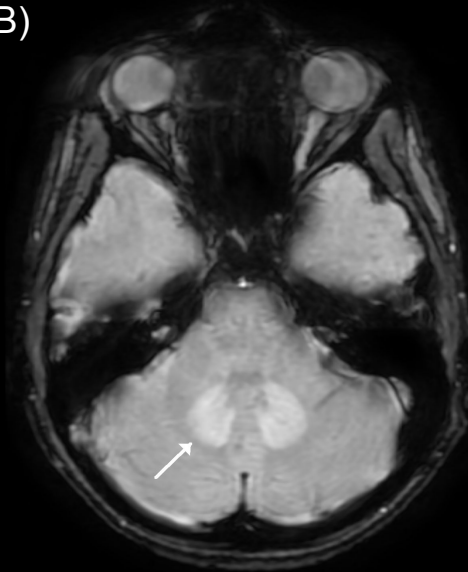
Ressonância magnética das sacroilíacas que evidenciou derrame articular na articulação sacroilíaca direita, com coleção líquida adjacente que se estendia para o iliopsoas, compatível com piodartrite da sacroilíaca direita associada à abscesso intramuscular no iliopsoas direito.

Relato de caso: Encefalopatia induzida por metronidazol na criança

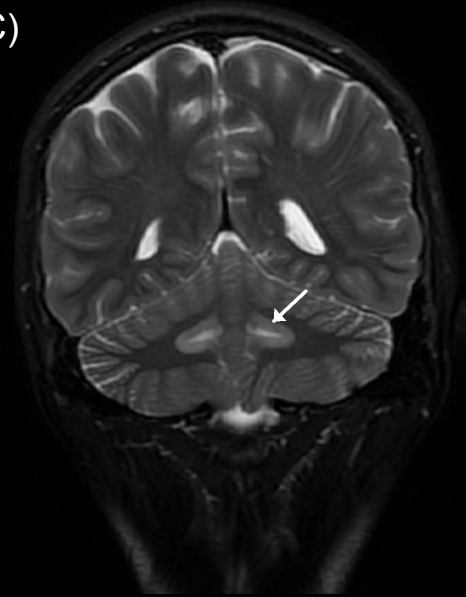
A)



B)

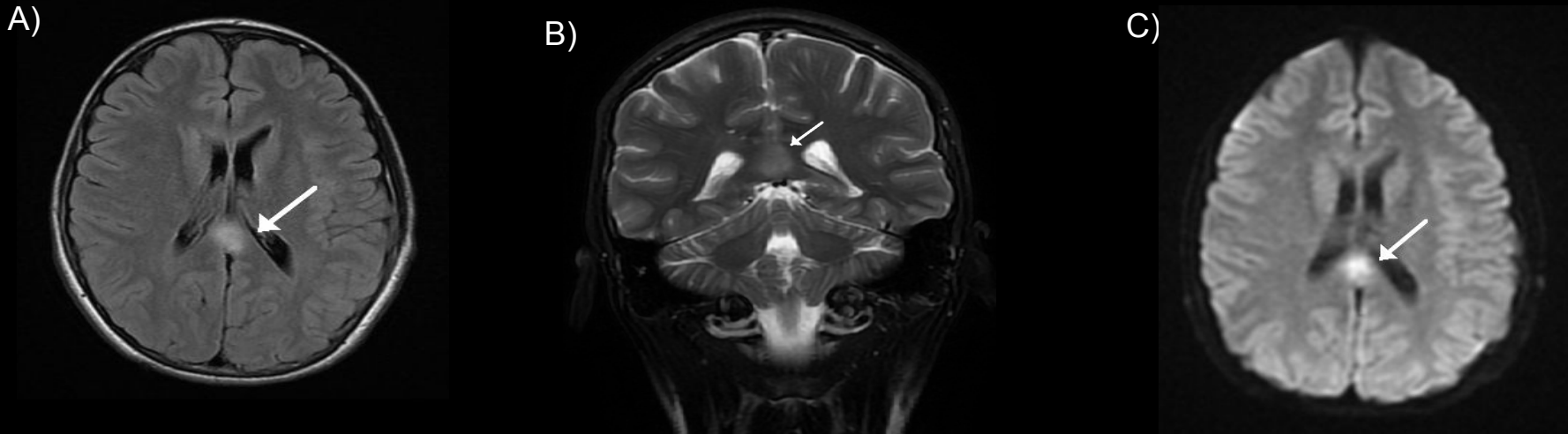


C)



Imagens de ressonância magnética no FLAIR evidenciando hiperintensidade dos núcleos dentados cerebelares bilaterais (A); no SWAN (B) e FLAIR/T2 (C) evidenciando hiperintensidade dos núcleos dentados cerebelares bilaterais.

Relato de caso: Encefalopatia induzida por metronidazol na criança



Imagens axiais e coronal de ressonância magnética ponderada em FLAIR (A) e T2 (B) evidenciando foco de alto sinal do esplênio do corpo caloso e no Mapa ADC (C) apresenta a restrição à difusão.

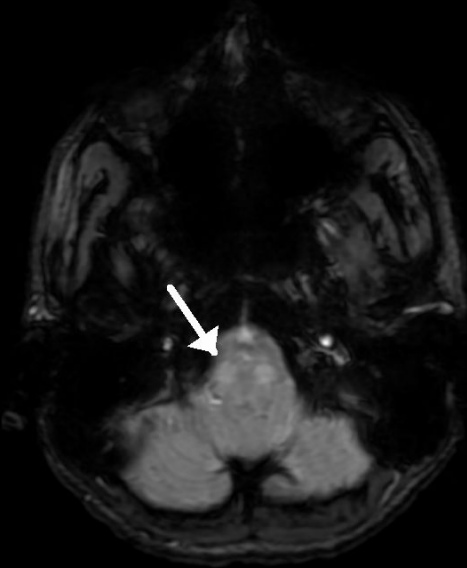
Relato de caso: Encefalopatia induzida por metronidazol na criança



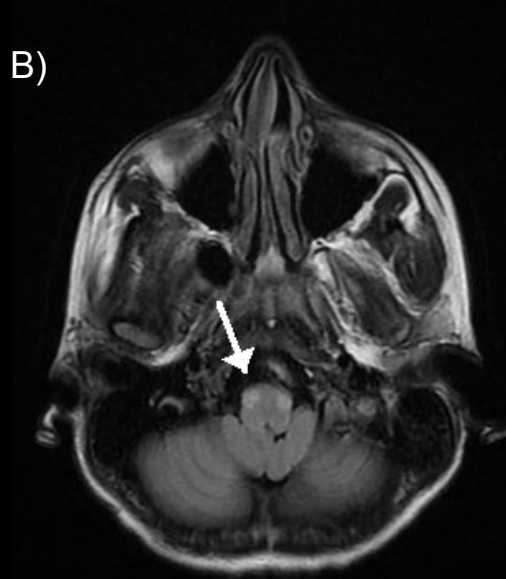
Imagens axiais de ressonância magnética em FLAIR (A), T2 (B) e SWAN(C) evidenciando hiperintensidade no complexo olivar superior.

Relato de caso: Encefalopatia induzida por metronidazol na criança

A)



B)



Imagens axiais de ressonância magnética em SWAN (A), FLAIR (B) evidenciando hiperintensidade na região do complexo olivar superior (seta brancas).